

苏联高等学校教学用书

黑色冶金学

下 册

Ф.П.耶德聶拉爾 著

李传薪 等译

冶金工业出版社

12
21.2

苏联高等学校教学用書

黑色电冶金学

下册

Ф. П. 耶德聶拉爾 著

李传薪 等译

冶金工业出版社

Ф.П. Еднерал
ЭЛЕКТРОМЕТАЛЛУРГИЯ СТАЛИИ ФЕРРОСИЛАВОВ
Металлургиздат (Москва, 1955)

黑色电冶金学 下册

Ф.П. 耶德纳拉尔著 李传薪等译

编辑：杜华云 设计：鲁芝芳、斐哲 校对：胡瑞华

— * —

冶金工业出版社出版 (北京市灯市口甲 45 号)

北京市书刊出版业营业登记证字第 092 号

冶金工业出版社印制厂印

新华书店发行

— * —

1959 年 6 月第一版

1959 年 6 月 北京第一次印刷

印数 4,000 册

开本 850×1168 • 1/32 190,000 字 • 印张 7 $\frac{10}{32}$

— * —

统一书号 15062 • 1513 定价 0.92 元

出版者的話

本書根据苏联冶金出版社出版的耶德聶拉爾著“黑色电冶金学普通教程”1955年第二版俄文本（Ф. П. Еднерал Электрометаллургия стали и ферросплавов, Общий курс, Второе издание, Металлургиздат, 1955）譯出。原書經苏联高等教育部审定为高等冶金工业院（校）用教科書。它并可供电爐炼鋼与鐵合金冶炼技术人員参考。

本書中文譯本分兩冊出版。上冊內容包括电爐分类、炼鋼电弧爐的机械設備与电气設備、爐衬砌筑、碱性与酸性电弧爐炼鋼法、联合炼鋼法及感应电爐等。下冊內容为高級优质鋼的澆注，鐵合金爐，电爐鐵合金生产工艺及金屬还原法等。

此外，書后还附有一篇对本書內容的評論，供大家参考。

本書下冊由北京鋼鐵学院电冶教研組李传薪、宋文林、章蕙舫、孔祥茂翻譯。

下册 目录

第一部分 炼钢（續）

第四篇 高級优质鋼的澆鑄	(1)
第十三章 高級优质鋼鋼錠的結構和尺寸。鋼筩模	(2)
鋼錠的結構	(2)
鋼錠和鋁錠模的尺寸	(13)
第十四章 出鋼的准备工作和鋼的澆鑄	(18)
第十五章 淬鑄方法与技术操作	(31)
澆鑄方法	(31)
澆鑄的技术操作	(34)
連續澆注和半連續澆注	(48)
第十六章 高級优质鋼鋼錠的缺陷及其防止方法	(52)
第十七章 軋制或鍛造前鋼錠的准备	(75)
清理方法的选择	(76)
燒炼检查	(83)

第二部分 鐵合金生产

第五篇 鐵合金爐	(88)
第十八章 鐵合金爐的机械设备	(88)
爐壳	(88)
電极把持器	(89)
接触頭板	(90)
懸吊筒	(92)
電极升降机械	(93)
電极升降装置	(94)
爐子的水冷却	(97)
裝料设备	(98)
抽风和吹風	(102)

出口燒穿器	(102)
鐵合金爐的爐村	(107)
第十九章 鐵合金爐的電氣設備和爐膛尺寸	(110)
變壓器功率的選擇	(110)
爐紅尺寸	(111)
电压的选择	(112)
電極的直徑和心圓	(114)
短路路	(115)
自動調整器	(121)
第二十章 連續的自熔電極	(122)
第二十一章 治煉生鐵用的封閉式電爐	(125)
第六篇 電爐治煉鐵合金的生產技術	(129)
第二十二章 砂鐵生產	(130)
砂的物理化學性質	(130)
熔炼過程的物理化學原理	(134)
熔炼技術和爐況故障	(136)
出爐	(140)
技術經濟指標	(142)
第二十三章 鉻鐵生產	(144)
鉻的物理化學性質	(144)
鉻鐵的生產方法	(146)
高碳鉻鐵的生產	(147)
砂鉻合金生產	(153)
低碳鉻鐵和微碳鉻鐵的生產	(157)
精炼鉻鐵的其他製造方法	(168)
鉻鐵的破碎	(165)
第二十四章 錫鐵生產	(167)
錫的物理化學性質	(167)
高碳錫鐵的生產	(169)
砂錫合金的生產	(175)
中碳錫鐵的生產	(177)
第二十五章 鋼鐵生產	(180)
鋼的物理化學性質	(180)
由鈦礦石提取鈦	(182)
熔炼過程的物理化學原理	(184)

熔炼技术	(181)
技术经济指标	(183)
防止钒的损失	(186)
防止在钒铁中的有害杂质	(186)
第二十六章 钨铁生产	(188)
钨的物理化学性质	(188)
熔炼技术	(189)
第二十七章 安全技术	(192)
第七篇 由氧化物制取金属的金属热还原法	(195)
第二十八章 钛铁生产	(197)
钛的物理化学性质	(197)
原材料和熔炼过程的物理化学原理	(198)
熔炼前原料的准备	(200)
熔炼设备和熔炼技术	(201)
钛铁中有害杂质的防止	(203)
第二十九章 钼铁生产	(204)
钼的物理化学性质	(204)
原料和熔炼过程的物理化学原理	(204)
熔炼前原料的准备	(208)
熔炼设备和熔炼技术	(209)
第三十章 安全技术	(211)
参考文献	(212)
附录	(213)
书评	(223)

第四篇 高級優質鋼的澆鑄

在制得优良鋼錠的复杂而又重要的工作中，鋼的澆鑄是最主要的操作之一。电爐炼鋼車間的生产率是按所产的合格鋼錠来計算的。可以在电爐內炼出非金屬夹杂物和气体含量少的，脱氧良好，化学成分合格的优质鋼液，但会由于澆鑄不当而毁掉了它。許多冶金界权威認為：正确地进行澆注比冶炼还要困难。出鋼后，当鋼液在盛鋼桶內和鋼錠模內进行凝固时即发生很复杂的过程；此过程在短時間內就結束，因此任何违反操作规程的錯誤和偏差都将无法补救。因此要求領導澆鑄工作的工长具有高超的技术，能随机应变的本領并通晓保証得到优质鋼錠的条件。在先进的电爐炼鋼車間中，大部分澆注工作是在車間主任的参加下进行的，澆注时用光学高溫計測量鋼液溫度，用秒表測量每个錠模的注滿时间；将測量結果記入鑄錠操作卡片。

高級鋼鋼錠的質量取决于許多因素：出鋼槽、盛鋼桶、鋼錠模之清洁程度；鋼錠模周围和澆注工段的清洁情况；鋼錠模的形狀与大小；澆注的溫度和速度；鋼錠模的涂料；澆鑄方法；耐火材料的質量；鋼錠冷却情况。車間所炼鋼种的成分不一时，需使上述各种因素与鋼的成分相适应。

在所有高級优质鋼钢种的澆鑄工作中，应普遍而且严格遵守的一个条件是：清洁。炼鋼車間全体工作人員的生产好坏首先取决于鋼液所經過的全部设备（从爐子到錠模）的清洁情况以及整个鑄錠間的清洁情况，在冶炼中应特別注意使鋼中不含有非金屬夹杂物，因此不允许在鑄錠間里把鋼水弄脏。

按技术操作规程，鑄錠車或鑄錠坑的准备工作包括准备耐火材料、砂子和粘土，清理废砖和垃圾。必須及时地清除废物，噴水清扫工段的各部分，将装配好的錠盤上的孔盖上，給已涂好涂料的鋼錠模加盖以防止灰尘落入流鋼道和鋼錠模中。

第十三章 高級优质鋼鋼錠的結構和

尺寸 鋼錠模

鋼錠的結構

高級优质鋼是澆在上大下小并带有保溫帽的鋼錠模中。图133 所示为重3700公斤鋼錠的縱剖面之結構，图139 所示为重2.6吨1X18H9T鋼錠的縱剖面結構。一般的結構分成五个带：由細顆粒等軸晶6組成的表面激冷层，柱状晶帶8，由无定向等軸晶5組成的中心带，致密顆粒状結構9之沉积錐带和縮孔带2。各带之間沒有明显的界限，各个带的延伸程度决定于鋼的澆注条件和鋼的成分。

在上一世纪70—80年代中，俄国伟大的冶金学家Д.К.契尔諾夫在关于鋼的相变与鋼錠结构方面作出了巨大的貢献。他首次闡述了鋼的結晶情况，描绘了鋼錠中树枝晶形成的机构，确立了鋼的結晶规律。

鋼錠的組織是在接連不断的結晶过程以后成形的，开始凝固是在表面最冷的地方；以后扩展到内部，直到鋼錠的中心部分結束。

鋼的結晶决定于两个因素：即凝固速度和选分結晶，由于选分結晶成分較純的晶体先从由鐵、碳、錳、磷、硫和其他元素組成的溶液中析出。

模中鋼液的結晶过程是立刻从模壁附近的許多晶核开始的，由于模壁强烈的吸热作用而形成表面的等軸晶激冷层，其成分与盛鋼桶中的鋼水成分相同。但因为快速冷却的时间很短，因此激冷层不厚。

模溫迅速升高，鋼液經鋼錠表面层往外散热的速度变慢，因此以后鋼液的結晶取决于选择凝固作用，成分較純的具有較高熔

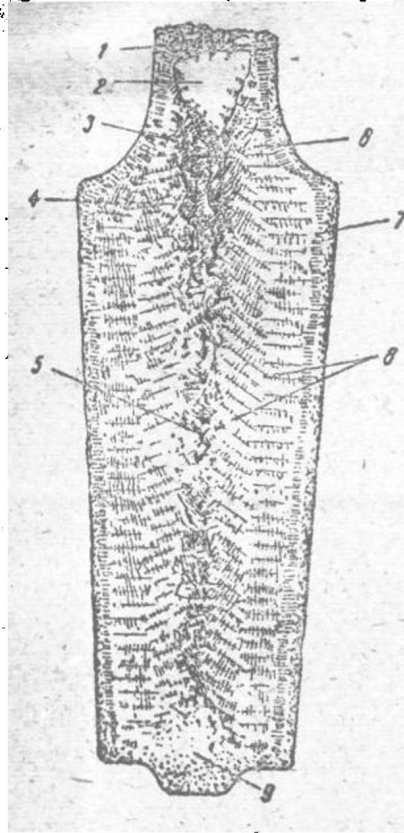


图 138. 4吨钢锭的结构图

1—桥；2—孔；3—孔与
偏析带；4—疏松与偏析带；
5—无定向等轴晶带；6—等轴晶
表面层；7—垂直于钢锭模壁的
小树枝晶；8—大树枝晶—柱状
晶带；9—沉积层带

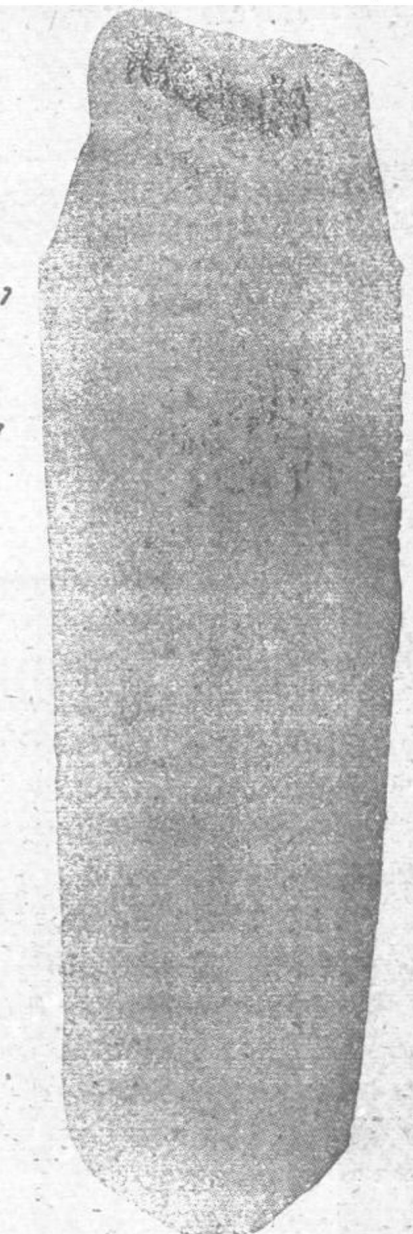


图 139 2.0吨XISH9T铜锭之纵剖面

点的金属先凝固。这时沿着晶体的主轴方向开始形成含碳较少的晶架，从这些晶架上又分出与其垂直的晶枝，晶枝上又分出垂直于它的新晶枝。

凝固的结果形成了树枝状的晶体，称之为树枝晶，以后合金元素含量高的以及非金属夹杂物和气体的钢液就在树枝晶之间凝固。柱状晶带之树枝晶主轴开始时是垂直于冷却表面即垂直于模壁，以后由于气体和比重较小的非金属夹杂物向上运动以及钢液之热对流作用，方向稍偏上端。柱状晶带可能扩展得很大；它决定于适合树枝晶生长时间的长短；浇注时温度高速度快，则柱状晶大。在合金钢中由于其导热性差，因此柱状晶带也较大。

在高铬或高镍钢中当浇注温度很高时，柱状晶带可能延伸到钢锭中心。

从浇注开始经过一阶段后，因钢锭的收缩与钢锭模的膨胀，在钢锭与钢锭模之间产生一缝隙，它大大地减慢了钢锭中热的传出，因此柱状晶停止长大。母液在缓慢的散热条件下结晶。因为模壁冷却作用较弱，因此所形成的结晶轴没有一定的方向，晶体在各个方向上都可以自由地长大。

钢液中非金属夹杂物的数量过多，会增加晶核的数目。钢锭中心部分的钢液以较快速度凝固，这是因为数量不多的钢液有早已凝固的很大的冷却表面之故。因此在钢锭的中心部分形成了无定向等轴晶。

许多冶金学家认为，钢锭下部的结晶锥是由于较密实的纯的晶体下沉到底部而形成的。B.M.达吉也夫和B.A.杜特金对钢锭下部的结构作了另一种解释。他们在结晶过程中的不同时刻里向注入钢锭模内的钢液中加入“示踪原子”借以记录钢液在凝固过程中运动的情形。这时弄清在未形成沉积锥以前的时期中，加入到钢锭冒口部分的“示踪原子”，只能向下扩展到钢锭液体部分的高度，不能达到锥形带。因而认为钢锭下部的锥形带是由于厚的钢锭模底与模底下部模壁共同的冷却作用而形成的。钢锭的凝固速度可近似地用下式计算：

$$X = K\sqrt{\tau};$$

式中： X ——在 τ 分鐘時間內凝固層的厚度，厘米；

K ——常数，当鋼在生鐵模內凝固时它等于 2.6。

鋼錠的树枝晶結構可以在經過腐蝕后的（例如用25%的硫酸溶液）鋼錠試片上用肉眼看出。图 140 为具有明显的三个晶带的鋼錠試片。

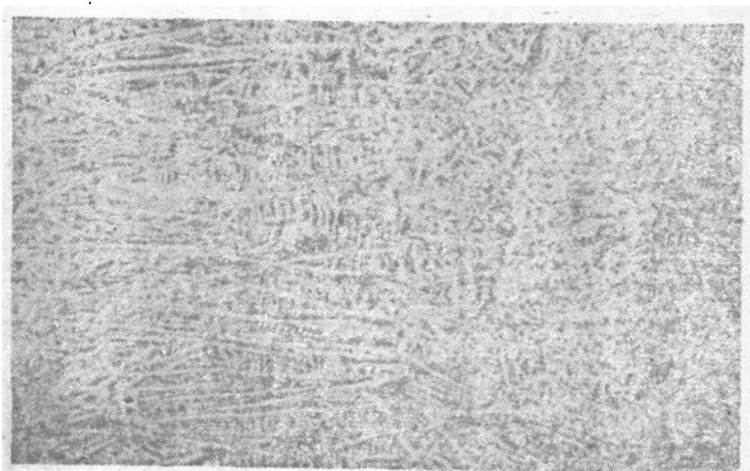


图 140 鋼錠的树枝晶結構（腐蝕后的低倍試片）

鋼錠成分的不均匀性 鋼錠不但在結晶結構上有不均匀性，而且鋼中主要成分，非金屬夾杂物和气体的分布也是有不均匀性的。这种不均匀性在工厂中称之为偏析。鋼錠中的偏析分为带状偏析（粗視偏析）和树枝晶間偏析（显微偏析）。大鋼錠有二个带状正偏析带（即其浓度高于平均值）和一个负偏析带（其浓度低于平均值）（图141与图142）。

硫的偏析倾向最大，其次是碳和磷。带状偏析产生的原因如下：我們已講过，表面晶粒分析恰好与盛鋼桶內鋼液成分相适应。柱状晶是由含杂质少的鋼液凝固而成。晶架形成以后，由于金屬在凝固期的收縮，而在树枝晶間生成间隙，而间隙处将被上

面的或中心区的含有許多易熔化合物的銅液充填起来（硫化物和磷化物）。

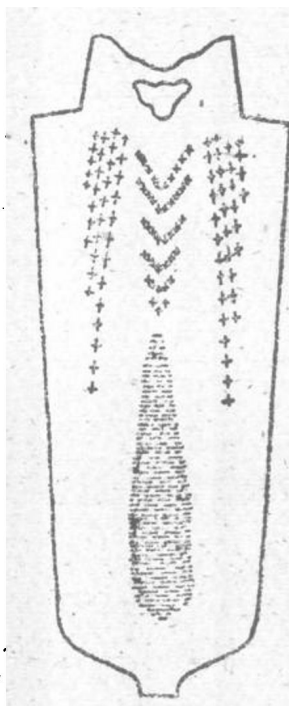


图 141 銅模中澆折帶示意圖
正号表示正個析帶，負号表示負個析帶



图 142 重10.5吨銅鑄的正
偏析

密度比周围介质小的不纯的金属受有四种力的作用：密度差造成由下而上的力；结晶前沿的移动所形成的把铜液挤向钢锭轴心的力；由于收缩而产生的铜液柱下降，其力的作用方向是由上而下；最后，铜液往晶间孔隙内充填造成从中心向边界和自上而下的力。由于上述各种力的相互作用，含有杂质的金属的集聚过程是按复杂的路线而进行；而凝固了的金属标记了这集聚过程的情况。

Б.Б.古里亚耶夫認為：在钢锭的表面带主要是漂浮力——几

形偏析；在軸心区主要是鋼液柱的收縮下降——V形偏析。

J形偏析的形成過程尚未搞清。B. M. 达吉也夫根据在小鋼錠上作的實驗工作結果提出以下的解釋 [8]。在鋼液与处于二相状态(固相十液相)的鋼长时间的接触情况下，发现其中溶解的杂质有再分配現象，使鋼錠的区域性化学不均匀性得到了发展。这时由于二相区析出碳硫磷而增加了鋼液中这些元素的含量。二相区是由貫穿着孔道互相联通的地区之树枝晶骨架所組成。杂质从富含杂质的晶軸間隙地区向与二相区接触的液体內的扩散过程，主要决定于其間的浓度差。

区域性的化学不均匀性发展的必要条件是：杂质在液相和固相中有不同的溶解度(决定于組成的性质)，而且液相与二相区共同存在有相当长的时间，足以进行杂质向液相的扩散过程。

杂质的結晶与扩散过程相互作用引起了周期性的凝固，而形成了鋼錠的周期性的結構。当結晶速度減慢时(散熱能力減小)杂质便可更完全地由二相区扩散到液体內，这样就降低了液体的結晶溫度，并且減緩了液体的凝固速度直到完全停止凝固。由于树枝晶軸貫穿富含杂质的液体层伸入鋼錠的內部，而此处鋼液成分尚未改变，因此結晶便加速进行。

关于 V 形偏析的形成原因，大多数冶金学家認為是由于富含杂质的鋼液因收縮下降而产生的。这偏析带从縮孔的下面开始，向下大約伸展到鋼錠的中部，軸心区的 V形偏析是在鋼錠凝固末期形成的，这时在鋼錠上半部的中心部分殘留着不多的半凝固状态的鋼液。

一部分富集杂质的鋼液被滯留在树枝晶之間，形成了树枝晶的偏析(簡称为枝晶偏析)。柱状晶的平均成分与鋼液成分相同，用一般的化学分析方法不能发现其中成分的变化，因为电鑽取样时所取的金屬有在晶軸上的，也有在晶軸間的。用硫酸印法可以显露出枝晶偏析，在加工变形过的金屬样片中在显微鏡下是以帶狀結構出現。

偏析严重地损坏了鋼錠組織的均匀性而在成品上造成許多缺

陷。

各元素偏析程度随鋼錠重量的加大、浇注溫度与速度的提高，易于产生偏析的杂质在鋼中含量的增加而增大。

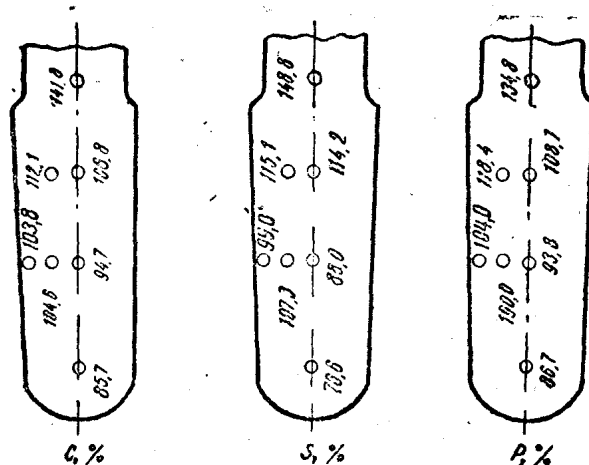


图 143 中等重量的鋼錠之碳硫磷分布

中等重量的鋼錠（1吨左右）的碳硫磷的分布如图 143 所示。以盛鋼桶內的成分取为 100；在取样的点上写下該試样所含成分之相应的百分数。与鋼液的最初成分相比，鋼錠下部杂质的含量要低些。B.M. 达吉也夫解释为由于杂质在固体和液体鉄內溶解度不同，因而杂质由二相区向液相区扩散，使富集杂质的密度较小的金属自下而上地移动。

縮孔与收縮疏松 液体鋼的比重比固体鋼小，因此在鋼凝固时比容便減小，即产生鋼的收縮。根据 I.O.A. 瓦亨脱苦的資料，碳素鋼的收縮为 3 ~ 3.5%，且随着鋼液溫度的升高而加大，在开始凝固时，鋼錠的表面层进行收縮。形成的表面层因收縮作用与鋼錠模壁分开，此时鋼錠中心仍为液体。随着表面凝固层的增厚，体积的收縮便在鋼錠的最后凝固部分生成内部空穴。在带有保溫帽的鋼錠模內进行浇注时，最后凝固的是头部金属，而縮

孔便在这里形成*。鋼液在鋼錠模內凝固的程序可以用4.5吨40X未完全凝固的鋼錠的縱剖面圖來說明，這些鋼錠是H.Д.阿格也夫和B.K.波羅夫卡在注滿鋼錠模後經過40、60、90及110分鐘把鋼錠翻倒而得（圖144）。應用保溫帽可以保證使縮孔位於在鍛造或軋制過程中要被切去的鋼錠切頭部分。

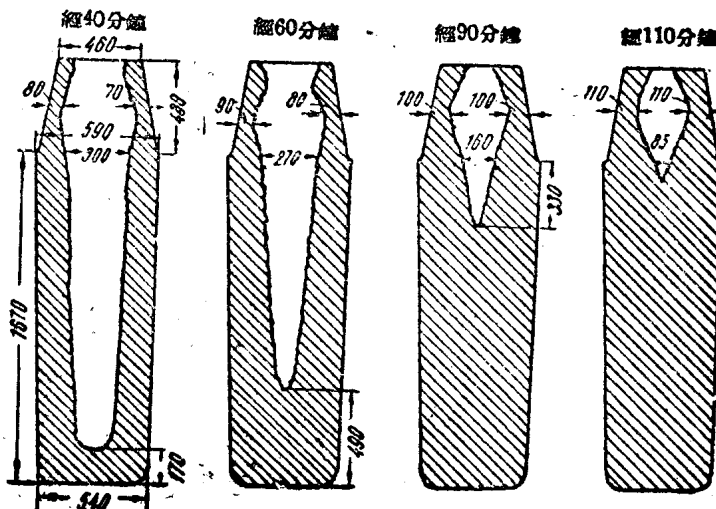


图 144 在結晶过程中傾倒后之鋼錠壳

鑄細長的鋼錠時，若錠高與其中部橫截面直徑之比超過2.5~2.7，而錐度小於3%，則在鋼錠軸心部分會發現有軸心疏松，它常有堅實的金屬橋與縮孔相隔開。

凝固期中體積的收縮引起金屬液由上而下，由中心向邊緣的移動。隨著軸心區鋼液的減少與枝晶之間通道斷面的減小，液體金屬的移動發生困難。以後一部分的金屬在凝固時不能去充填所有的收縮孔，因此形成了軸心疏松和枝晶間的疏松。

* K. Г. 特魯平觀察了縮孔認為是由於鋼錠中鋼液凝固最晚區中在表面硬壳下氣體聚集而形成。

疏松可能是由于在溫度降低时从溶液中析出的气体集聚而引起的。鋼錠凝固末期，金屬粘度增大，使气体上浮洩入縮孔中更多困难。图 145 所示为沿鋼錠軸向所形成的孔隙情形（1200公斤

的鋼錠在澆注以后24分鐘将其傾倒后所得之錠壳）。

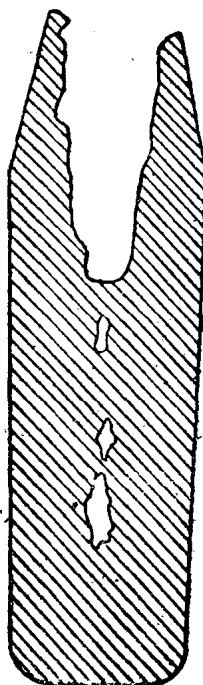


图 145 1200公斤鋼錠軸心

部分的气孔

鋼錠不均匀性的控制 在含大量鉻或鎳，或者大量鋁鎳的鋼中，鋼錠的柱晶区有很大的发展。非金屬夾杂物和气体集聚在柱状晶所形成的界面上，因此晶界面成为鋼錠中的脆弱部分。在鍛造或軋制过程中，鋼錠会沿这些脆弱面而裂开。

前已指出，鋼錠的結構决定于鋼液的选分結晶与結晶速度。对于一定成分的鋼可用控制其冷却速度的方法来控制其結晶过程。为此应改变鋼錠的重量、外形、澆注溫度和速度。

在下列条件下，柱晶区扩大：

1. 增加鋼錠重量，因为凝固时间延长了；

2. 提高澆注溫度——延长凝固

時間，也就是延长了柱状晶无障碍地生长的时间；

3. 提高澆注速度——較高的澆注速度可使金屬热量相对地增加，因为辐射的热损失与澆注鋼錠模的时间成比例地增加。;

据涅尔遜 (Nilson) 的資料，增加鋼錠模壁厚度可以縮短鋼錠完全凝固所需要的时间。

施于鋼錠模內鋼液的机械作用可阻碍柱晶区的发展，B.B.列尔蒙托夫建議采用振动已注滿鋼液的鋼錠模的方法。在苏联，B.B.列尔蒙托夫的建議曾为 B.I. 透茲諾夫成功地采用过。由于振动的結果，在碳素鋼和鉻鋼的鋼錠中設有柱状晶。在国外，列尔